

на  $180^\circ$  (в каждом домене направление  $P_s$  изменяется на противоположное или коэффициент  $K$  в (1) принимает значение  $-4$  вместо  $+1$ ), а именно  $\Delta q_{23} \sim |P_s|L \sim 0.1$  ед. СГСЭ ( $P_s \approx 0.2$  мкКл/см $^2$  [1],  $L \approx 10^{-4}$  см). Нетрудно проверить, что при всех других возможных вариантах изменения доменной структуры (изменение величины  $P_s$  и  $L$ , нарушение регулярности структуры) значения  $q_{23}$  должны быть по крайней мере на порядок меньше.

Осцилляции диэлектрической проницаемости  $\epsilon_y$  кристаллов  $Rb_2ZnCl_4$  в области несоразмерной фазы наблюдались в [5], причем, так же как и в исследуемом случае, отчетливые осцилляции  $\epsilon_y$  проявлялись только при охлаждении кристалла. По-видимому, в основе этих эффектов лежит один механизм — «закрепление» квазидоменных структур (солитонов) в несоразмерной фазе на структурных неоднородностях и их освобождение при определенных изменениях внешних условий.

Отметим, что аналогичные особенности изменения квадрупольного момента с температурой наблюдались нами также в полярной фазе кристаллов группы KDP. Однако наиболее ярко они проявляются в кристаллах  $Rb_2ZnCl_4$ .

#### Список литературы

- [1] Hamano K., Ikeda Yo., Fujimoto T., Ema K., Hirotsu Sh. // J. Phys. Soc. Jpn. 1980. V. 49. N 6. P. 2278—2286.
- [2] Sawada Sh., Shiroishi Y., Yamamoto A., Takashige M., Matsuo M. // J. Phys. Soc. Jpn. 1977. V. 43. N 6. P. 2099—2100.
- [3] Gladkii V. V., Kirikov V. A., Zheludev I. S. // Ferroelectrics. 1988. V. 79. Pt II. P. 283—286.
- [4] Gladkii V. V. // Phase Transitions, section A. 1986. V. 6. N 4. P. 273—328.
- [5] Unruh H.-G. // J. Phys. C: Sol. St. Phys. 1983. V. 16. N 17. P. 3245—3255.

Институт физики  
Дагестанский филиал АН СССР  
Махачкала  
Институт кристаллографии АН СССР  
Москва

Поступило в Редакцию  
17 января 1989 г.

УДК 548 : 537.611

Физика твердого тела, том 31, в. 5, 1989  
Solid State Physics, vol. 31, № 5, 1989

## ОСОБЕННОСТИ СПЕКТРОВ МАГНИТОСТАТИЧЕСКИХ ВОЛН, ОБУСЛОВЛЕННЫЕ АНИЗОТРОПИЕЙ

И. В. Зависляк, В. М. Талалаевский, Л. В. Чевнюк

Известно [1—4], что магнитная анизотропия оказывает существенное влияние на спектры магнитостатических волн (МСВ) ферритовых пленок. В частности, деформируются спектры поверхностных и объемных МСВ, появляются новые типы волн, обусловленные только анизотропией.

Целью настоящей работы является экспериментальное исследование спектров поверхностных и объемных МСВ в окрестности частоты однородного ферромагнитного резонанса  $\omega_0$  и выявление их особенностей, обусловленных анизотропией.

Экспериментальные исследования АЧХ СВЧ электродинамической структуры (ЭС), включающей ферритовую пленку, намагниченную в плоскости, и две микрополосковые антенны (передающую и приемную), позволяют достаточно подробно изучить бегущие МСВ в окрестности  $\omega_0$ . Согласно теории Дэймона и Эшбаха [5], дисперсионные ветви поверхностных МСВ (ПМСВ) и обратных объемных МСВ (ООМСВ) изотропного ферритового слоя выходят из одной точки  $\omega = \omega_0 = \gamma \sqrt{H_0(H_0 + 4\pi M)}$ ,  $k=0$ , где  $H_0$  — внешнее подмагничивающее поле,  $\gamma$  — модуль гиромагнитного

отношения. При этом перпендикулярно вектору  $H_0$  могут распространяться только ПМСВ, а параллельно — только ООМСВ. Это означает, что полосы пропускания ЭС, управляемые подмагничивающим полем, в режимах, когда вектор  $H_0$  параллелен антеннам (распространяются ПМСВ) и  $H_0$  перпендикулярен антеннам (распространяются ООМСВ), не пересекаются в окрестности  $\omega_0$  и типичная картина должна иметь вид рис. 1, а. В реальной ситуации, когда мы имеем дело с монокристаллическими гранатовыми

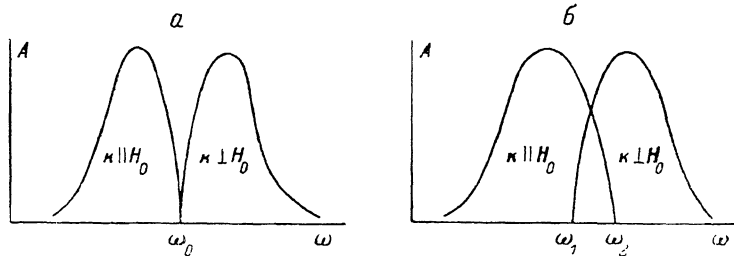


Рис. 1. АЧХ ЭС с изотропной ферритовой пленкой (а) и (111) ЖИГ-пленкой (б).

пленками, на спектры МСВ существенное влияние оказывает анизотропия. Обычно пленки железо-иттриевого граната (ЖИГ) обладают кубической магнитной кристаллографической анизотропией и одноосной ростовой анизотропией. Анизотропия приводит к появлению в спектре магнитостатических волн касательно намагниченной (111) ЖИГ-пленки прямых объемных МСВ (ПОМСВ) и обратных объемных МСВ (ООМСВ), распро-

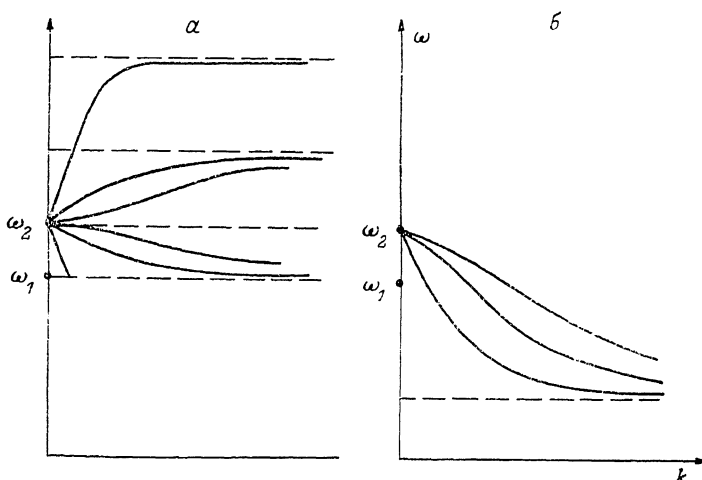


Рис. 2. Дисперсия МСВ в касательно намагниченной (111) ЖИГ-пленке.  $k \perp H_0 // <110>$  (а),  $k // H_0 // <110>$  (б).

страняющихся перпендикулярно вектору статической намагниченности  $M_0$ , ориентированному вдоль оси  $\langle 110 \rangle$  [3, 4]. Спектр имеет вид рис. 2, а.

Экспериментальные исследования АЧХ ЭС с (111) ЖИГ-пленкой, намагниченной вдоль оси  $\langle 110 \rangle$ , проведенные в настоящей работе, показали, что она имеет вид рис. 1, б. Частотное перекрытие  $\Delta \omega$  объясняется существованием в анизотропной пленке ООМСВ, распространяющихся перпендикулярно  $H_0$ , так как только эти волны могут распространяться в диапазоне частот  $\omega_1 \leq \omega \leq \omega_2$  как при параллельном, так и при перпендикулярном антеннам  $H_0$  (рис. 2, а, б).

Полагая, что вектор  $M_0$  лежит в плоскости (111), параллелен  $H_0$  и направлен вдоль оси  $\langle 110 \rangle$ , можно определить частоты  $\omega_1$  и  $\omega_2$  [3, 4]

$$\omega_1 = \gamma \{ H_0 (H_0 + 4\pi M - H_{\text{u}} - H_{\text{k}}) - 2H_{\text{k}}^2 - 2\pi M [H_{\text{u}} + H_{\text{k}} + \sqrt{(H_{\text{u}} + H_{\text{k}})^2 + 8H_{\text{k}}^2}] \}^{1/2}, \quad (1)$$

$$\omega_2 = \gamma [H_0 (H_0 + 4\pi M - H_{\text{u}} - H_{\text{k}}) - 2H_{\text{k}}^2]^{1/2}, \quad (2)$$

где  $H_a = 2k_u/M$ ,  $H_k = k_1/M$  — поля одноосной и кубической анизотропии;  $k_u$ ,  $k_1$  — константы кубической и одноосной анизотропии. Частотное перекрытие АЧХ

$$\Delta\omega = \frac{\gamma^2 2\pi M}{\omega_1 + \omega_2} (H_a + H_k) + \sqrt{(H_a + H_k)^2 + 8H_k^2}. \quad (3)$$

Результаты измерений на (111) ЖИГ-пленке толщиной  $S \approx 33.5$  мкм показали, что  $\Delta\omega/2\pi \approx 140$  МГц при  $\omega_1/2\pi \approx 2640$  МГц и  $\omega_2/2\pi \approx 2780$  МГц. Используя (3), можно получить выражение для поля одноосной анизотропии

$$H_a = \frac{a}{2} - \frac{4H_k^2}{a} - H_k, \quad (4)$$

где  $a = \Delta\omega (\omega_1 + \omega_2)/\gamma^2 \cdot 2\pi M$ . Если учесть, что  $H_k$  можно оценить по зависимости  $\omega_2$  от направления подмагничивания пленки в плоскости [6] и для ЖИГ  $H_k \approx -60$  Э, то  $H_a \approx -20$  Э.

В заключение отметим, что исследование перекрытия АЧХ ЭС с МСВ, распространяющимися вдоль и поперек подмагничивающего поля, подтверждает существование в анизотропной пленке ООМСВ, распространяющихся перпендикулярно  $H_0$ , дает возможность оценить с учетом результатов работы [6] поля одноосной и кубической анизотропии, а также  $4\pi M$  из касательного режима подмагничивания. Анализ влияния эффектов запаздывания на величину  $\Delta\omega$  показывает, что они не меняют полученных теоретических оценок. Изменяя ход дисперсионных кривых при  $k \rightarrow 0$ ,  $\omega \rightarrow \omega_2$ , эти эффекты не влияют на частотные границы спектра ООМСВ [7], т. е. в нашем случае на частоту  $\omega_2$ . Что касается частоты  $\omega_1$ , то вблизи этой частоты хорошо работает магнитостатическое приближение.

#### Список литературы

- [1] Schneider B. // Phys. St. Sol. (B). 1972. V. 51. N 1. P. 325—338.
- [2] Schneider B. // Phys. St. Sol. (B). 1974. V. 66. N 1. P. 99—106.
- [3] Берегов А. С., Кудинов Е. В. Магнитостатические волны в произвольно ориентированной пленке кубического ферромагнетика с наведенной анизотропией. Ч. II. Дисперсионные характеристики магнитостатических волн. 1987. В. 6 (400). С. 8—12.
- [4] Gieniusz R., Smoczyński L. // J. Magn. and Magn. Mater. 1987. V. 66. N 3. P. 366—372.
- [5] Damon R. W., Eshbach J. R. // J. Phys. Chem. Solids. 1961. V. 19. N 3/4. P. 308—320.
- [6] Берегов А. С., Кудинов Е. В., Обламский В. Г. // Изв. вузов, радиоэлектроника. 1986. Т. 29. № 7. С. 37—42.
- [7] Ruppin R. // J. Appl. Phys. 1987. V. 62. N 1. P. 15—16.

Киевский государственный  
университет им. Т. Г. Шевченко  
Киев

Поступило в Редакцию  
21 июля 1988 г.  
В окончательной редакции  
18 января 1989 г.

УДК 548.537 : 611.45

Физика твердого тела, том 31, в. 5, 1989  
*Solid State Physics, vol. 31, № 5, 1989*

## ОБ ЭФФЕКТЕ ФАРАДЕЯ В СЛАБЫХ ФЕРРОМАГНЕТИКАХ

*Д. В. Малазония*

Магнитооптические эффекты в слабых ферромагнетиках сравнимы по порядку величины с аналогичными эффектами в ферритах-гранатах, хотя величина намагниченности у первых кристаллов в 20 раз меньше, чем у вторых. Эффект Фарадея (ЭФ) в слабых ферромагнетиках — ортоферритах — не увеличивается пропорционально вектору слабого ферромагнетика